



# Caminos más Cortos desde un Origen a muchos Destinos

Profesor: Julio César López

[jlopez@eisc.univalle.edu.co](mailto:jlopez@eisc.univalle.edu.co)

November 28, 2002

*Contents*



*Page 1 of 42*

*Full Screen*

*Quit*



## Contenido

1. Generalidades
2. Relajación
3. El Algoritmo Bellman-Ford
4. Caminos más cortos desde un origen a muchos destinos en grafos dirigidos acíclicos
5. Algoritmo de Dijkstra

*Contents*



*Page 2 of 42*

*Full Screen*

*Quit*

## Generalidades

- En un **problema de caminos más cortos**, dado un grafo dirigido con peso  $G = (V, E)$ , se tiene una función de peso  $w : E \rightarrow \mathcal{R}$  que asigna valores reales a las aristas.
- El **peso** de un camino  $p = \langle v_0, v_1, \dots, v_k \rangle$  es la suma de los pesos de las aristas que lo constituyen:

$$w(p) = \sum_{i=1}^k w(v_{i-1}, v_i)$$

## Generalidades (cont.)

- Se define el **peso del camino más corto** de  $u$  a  $v$  como

$$\delta(u, v) = \begin{cases} \min\{w(p) : u \overset{p}{\rightsquigarrow} v\} & \text{si existe un camino de } u \text{ a } v \\ \infty & \text{de lo contrario} \end{cases}$$

- Un **camino más corto** del vértice  $v$  al vértice  $u$  es entonces definido como cualquier camino  $p$  con peso  $w(p) = \delta(u, v)$ .

## Generalidades (cont.)

El problema del camino más corto desde un origen a muchos destinos es el siguiente:

Dado un grafo  $G = (V, E)$  se desea encontrar un camino más corto desde un vértice **origen** dado  $s \in V$  a cada vértice  $v \in V$ .

Contents



Page 5 of 42

Full Screen

Quit



## Generalidades (cont.)

- Algunas veces, en los problemas de caminos más cortos existen aristas cuyo peso es negativo.
- Si el grafo  $G = (V, E)$  contiene ciclos con peso no negativo alcanzable desde el origen  $s$ , entonces para todo  $v \in V$ , el peso del camino más corto  $\delta(s, v)$  continua bien definido, incluso si tiene valor negativo.

Contents



Page 6 of 42

Full Screen

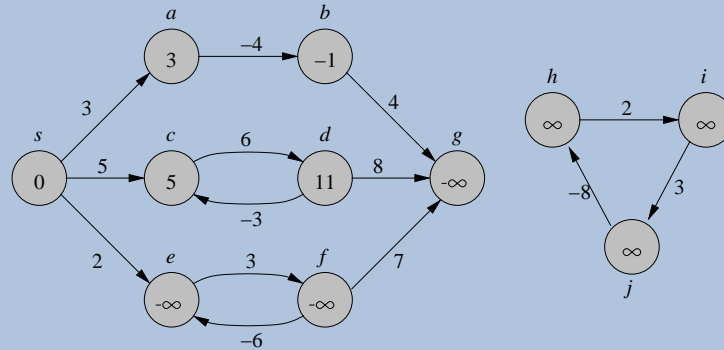
Quit

## Generalidades (cont.)

- Sin embargo, si existe un ciclo con peso negativo alcanzable desde  $s$ , el peso del camino más corto no esta bien definido.
- Ningún camino de  $s$  a un vértice en el ciclo puede ser un camino más corto (siempre habrá un camino “más corto”).
- Si existe un ciclo con peso negativo en algún camino de  $s$  a  $v$ , se define  $\delta(s, v) = -\infty$ .

## Generalidades (cont.)

Ejemplo:



- Como los vértices  $e$  y  $f$  forman un ciclo con peso negativo alcanzable desde  $s$ , ellos tienen pesos de caminos más cortos de  $-\infty$ .
- Como el vértice  $g$  es alcanzable desde un vértice cuyo peso de camino más corto es  $-\infty$ , entonces él también tiene peso de camino más corto de  $-\infty$ .
- Los vértices  $h$ ,  $i$  y  $j$  no son alcanzables desde  $s$ , luego su peso de camino más corto es  $\infty$  (aún cuando están en un ciclo de peso negativo).





## Relajación

Para cada vértice  $v \in V$  se tiene un atributo  $d[v]$ , el cual es un límite superior en el peso del camino más corto desde el origen  $s$  a  $v$ . El valor  $d[v]$  se denomina el **peso estimado del camino más corto**.

Se inicializan los pesos estimados de los caminos más cortos y predecesores con el siguiente procedimiento ( $\Theta(V)$ ):

```
INITIALIZE-SINGLE-SOURCE( $G, s$ )
1  for each vertex  $v \in V[G]$ 
2      do  $d[v] \leftarrow \infty$ 
3           $\pi[v] \leftarrow \text{NIL}$ 
4   $d[s] \leftarrow 0$ 
```

Contents



Page 9 of 42

Full Screen

Quit



## Relajación (cont.)

El proceso de **relajación** de una arista  $(u, v)$  consiste en examinar si se puede mejorar el camino más corto a  $v$  pasando por  $u$  y, si es el caso, actualizar  $d[v]$  y  $\pi[v]$ .

La relajación puede decrementar el valor del peso estimado del camino más corto  $d[v]$  y actualizar el campo  $\pi[v]$  del predecesor de  $v$ .

Contents



Page 10 of 42

Full Screen

Quit

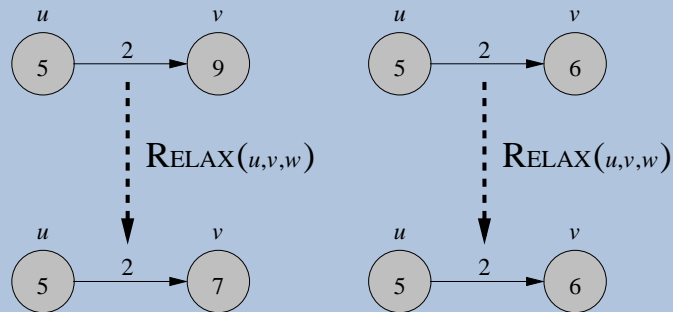
## Relajación (cont.)

El siguiente código realiza una relajación de la arista  $(u, v)$ :

```
RELAX( $u, v, w$ )  
1  if  $d[v] > d[u] + w(u, v)$   
2      then  $d[v] \leftarrow d[u] + w(u, v)$   
3           $\pi[v] \leftarrow u$ 
```

## Relajación (cont.)

La siguiente figura muestra dos ejemplos de relajación de una arista, uno en el cual el peso estimado del camino más corto decrece y el otro en el que no hay cambios en el peso estimado:





## Relajación (cont.)

### Lema 1 (Desigualdad Triangular)

Para cualquier arista  $(u, v) \in E$ , se tiene que  $\delta(s, v) \leq \delta(s, u) + w(u, v)$ .

Contents



Page 13 of 42

Full Screen

Quit



## Relajación (cont.)

### Lema 2 (Propiedad del Límite Superior)

Siempre se tiene que  $d[v] \geq \delta(s, v)$  para todo  $v \in V$ , y una vez que  $d[v]$  tenga el valor  $\delta(s, v)$ , nunca cambia.

Contents



Page 14 of 42

Full Screen

Quit



## Relajación (cont.)

### Corolario 3 (Propiedad de Ningún Camino)

Si no existe camino desde  $s$  a  $v$ , entonces siempre se tiene que  $d[v] = \delta(s, v) = \infty$ .

Contents



Page 15 of 42

Full Screen

Quit

## Relajación (cont.)

### Lema 4 (Propiedad de Convergencia)

Si  $s \rightsquigarrow u \rightarrow v$  es un camino más corto en  $G$  para algún  $u, v \in V$ , y si  $d[u] = \delta(s, u)$  antes de la relajación de la arista  $(u, v)$ , entonces  $d[v] = \delta(s, v)$  a partir de ese momento..

Contents



Page 16 of 42

Full Screen

Quit



## Relajación (cont.)

### Lema 5

#### (Propiedad de Relajación de Camino)

Si  $p = \langle v_0, v_1, \dots, v_k \rangle$  es un camino más corto desde  $s = v_0$  a  $v_k$ , y las aristas de  $p$  están relajadas en el orden  $(v_0, v_1), (v_1, v_2), \dots, (v_{k-1}, v_k)$ , entonces  $d[v_k] = \delta(s, v_k)$ .

Esta propiedad se cumple sin tener en cuenta otras relajaciones que ocurran, incluso si ellas están mezcladas con relajaciones de aristas de  $p$ .



## Relajación (cont.)

### Lema 6

#### (Propiedad del Subgrafo Predecesor)

Una vez que  $d[v] = \delta(s, v)$  para todo  $v \in V$ , el subgrafo predecesor es un árbol de caminos más cortos con raíz  $s$ .

Contents



Page 18 of 42

Full Screen

Quit

## El Algoritmo Bellman-Ford

El **algoritmo Bellman-Ford** resuelve el problema de caminos más cortos desde un origen a muchos destinos en el caso general en el cual los pesos de las aristas pueden ser negativos.

Dado un grafo dirigido con peso  $G = (V, E)$  con origen  $s$  y función de peso  $w : E \rightarrow \mathcal{R}$ , el algoritmo retorna un valor booleano que indica si existe o no un ciclo de peso negativo que es alcanzable desde el origen.

Si no hay un ciclo de peso negativo, el algoritmo produce los caminos más cortos y sus pesos.

## El Algoritmo Bellman-Ford (cont.)

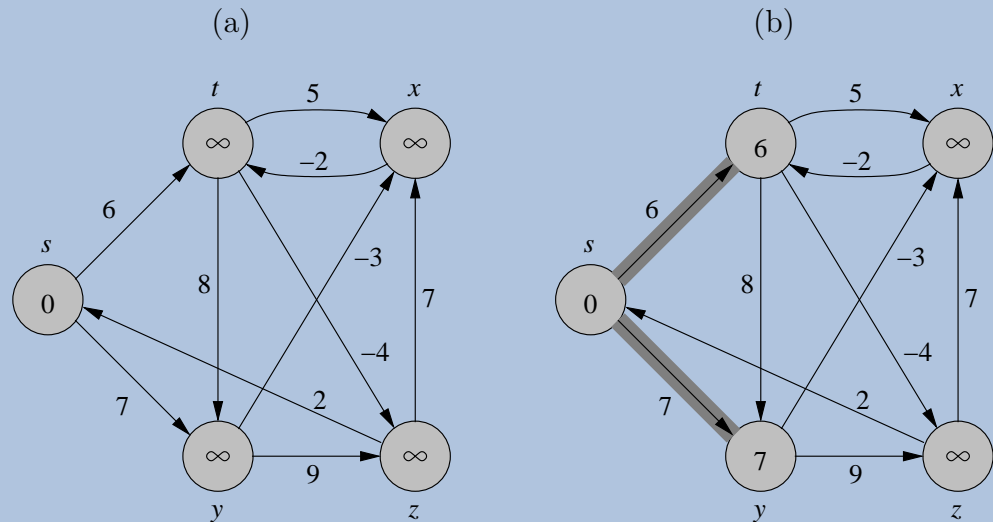
El siguiente es el código del algoritmo:

```
BELLMAN-FORD( $G, w, s$ )
1  INITIALIZE-SINGLE-SOURCE( $G, s$ )
2  for  $i \leftarrow 1$  to  $|V[G]| - 1$ 
3      do for each edge  $(u, v) \in E[G]$ 
4          do RELAX( $u, v, w$ )
5  for each edge  $(u, v) \in E[G]$ 
6      do if  $d[v] > d[u] + w(u, v)$ 
7          then return FALSE
8  return TRUE
```

Este algoritmo corre en un tiempo  $O(VE)$  ya que la inicialización toma un tiempo  $\Theta(V)$ , cada uno de los  $|V| - 1$  pasos sobre las aristas toma un tiempo  $\Theta(E)$ , y el último ciclo **for** toma un tiempo  $O(E)$ .

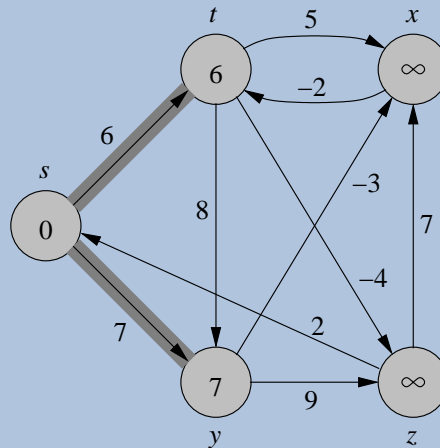
## El Algoritmo Bellman-Ford (cont.)

El siguiente ejemplo muestra la ejecución del algoritmo en un grafo de 5 vértices:

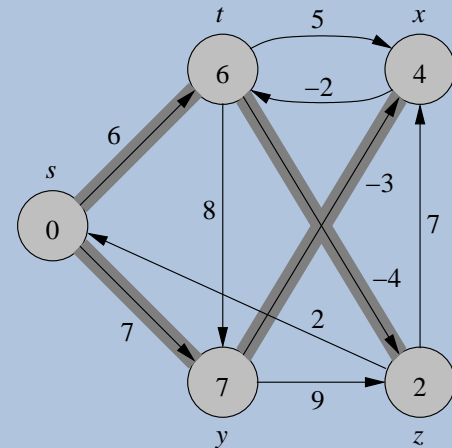


## El Algoritmo Bellman-Ford (cont.)

(b)



(c)



Contents



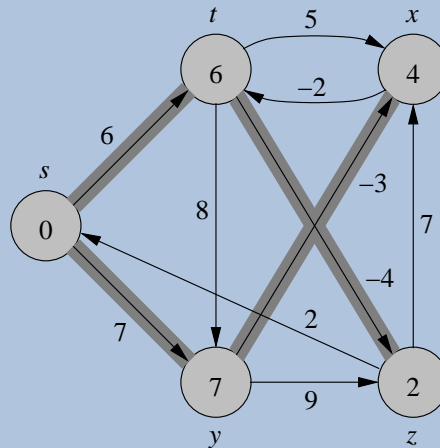
Page 22 of 42

Full Screen

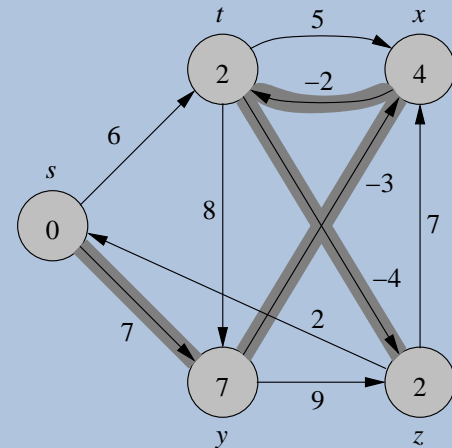
Quit

## El Algoritmo Bellman-Ford (cont.)

(c)



(d)



Contents



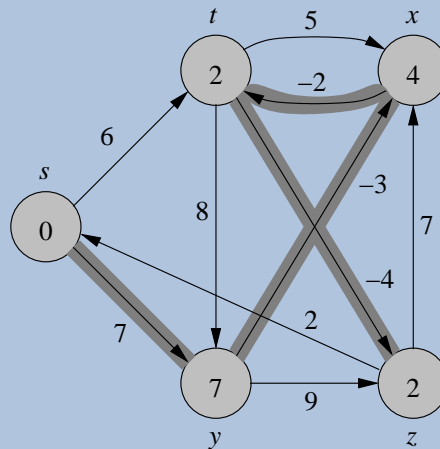
Page 23 of 42

Full Screen

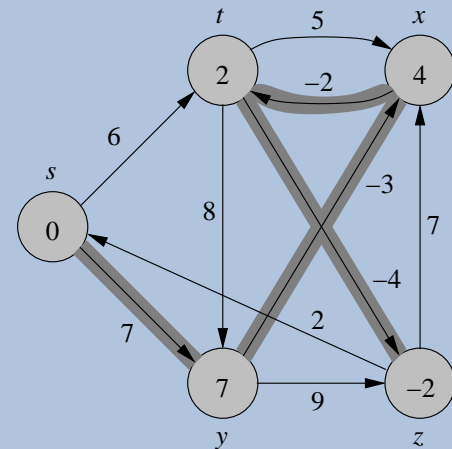
Quit

## El Algoritmo Bellman-Ford (cont.)

(d)



(e)



Contents



Page 24 of 42

Full Screen

Quit



## El Algoritmo Bellman-Ford (cont.)

### Lema 7

Suponga que el procedimiento **BELLMAN-FORD** se aplica a un grafo dirigido con peso  $G = (V, E)$  con origen  $s$  y función de peso  $w : E \rightarrow \mathcal{R}$ .

Si  $G$  contiene ciclos con peso no negativo que son alcanzables desde  $s$ , entonces el algoritmo retorna **TRUE**, se tiene que  $d[v] = \delta(s, v)$  para todo  $v \in V$ , y el subgrafo predecesor  $G_\pi$  es un árbol de rutas más cortas con raíz  $s$ .

Si  $G$  contiene ciclos con peso negativo alcanzable desde  $s$ , entonces el algoritmo retorna **FALSE**.



## Caminos más Cortos desde un Origen a muchos Destinos en Grafos Dirigidos Acíclicos

Cuando se relajan las aristas de un gda (grafo dirigido acíclico) con peso  $G = (V, E)$  de acuerdo al orden topológico de sus vértices, se puede calcular caminos más cortos desde un origen a muchos destinos en un tiempo  $\Theta(V + E)$ .

Los caminos más cortos están siempre bien definidos en un gda, ya que si existen aristas con peso negativo, por definicion no pueden existir ciclos.

Contents



Page 26 of 42

Full Screen

Quit



## Camino más Cortos desde un Origen a muchos Destinos en GDA (cont.)

El procedimiento es el siguiente:

DAG-SHORTEST-PATHS( $G, w, s$ )

- 1 topologically sort the vertices of  $G$
- 2 INITIALIZE-SINGLE-SOURCE( $G, s$ )
- 3 **for** each vertex  $u$ ,  
    taken in topologically sorted order
- 4     **do for** each vertex  $v \in Adj[u]$
- 5         **do** RELAX( $u, v, w$ )

Contents



Page 27 of 42

Full Screen

Quit



## Camino más Cortos desde un Origen a muchos Destinos en GDA (cont.)

- El orden topológico puede ser realizado en un tiempo  $\Theta(V + E)$ .
- El llamado a INITIALIZE-SINGLE-SOURCE toma un tiempo  $\Theta(V)$ .
- El ciclo interno hace  $|E|$  iteraciones que toman un tiempo  $\Theta(1)$  cada una, mientras que el ciclo externo hace una sola iteración por vértice.

Por lo tanto el tiempo total de ejecución de este algoritmo es  $\Theta(V + E)$ .

Contents



Page 28 of 42

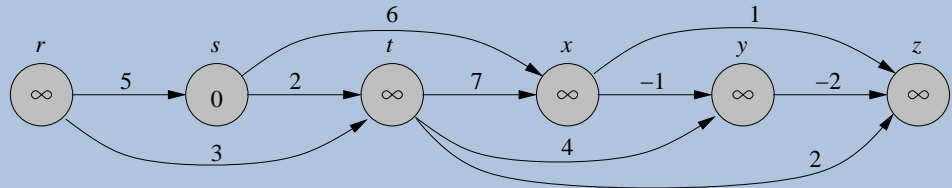
Full Screen

Quit

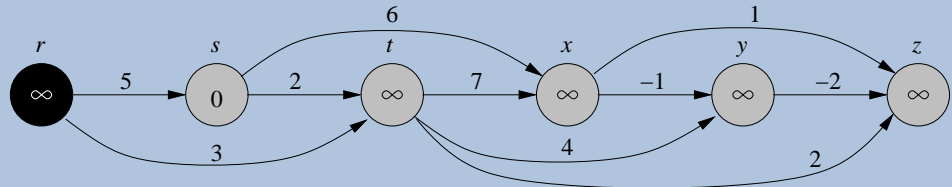
## Caminos más Cortos desde un Origen a muchos Destinos en GDA (cont.)

El siguiente ejemplo muestra la ejecución de este algoritmo:

(a)

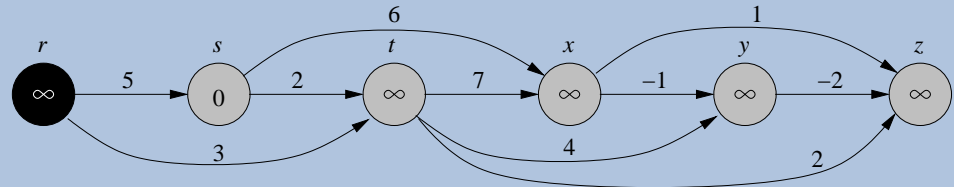


(b)

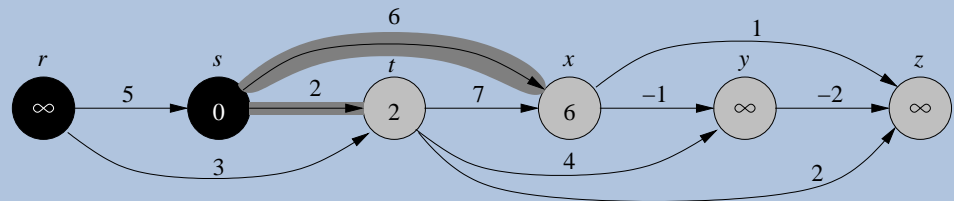


## Camino más Corto desde un Origen a muchos Destinos en GDA (cont.)

(b)



(c)



Contents



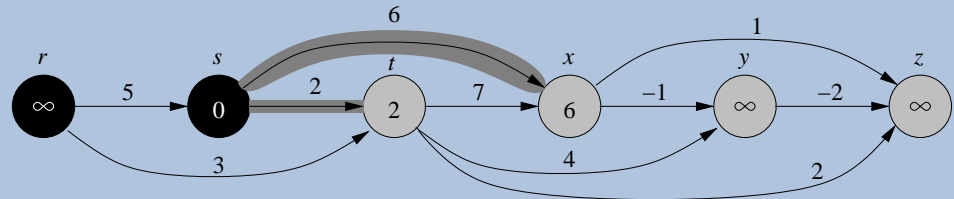
Page 30 of 42

Full Screen

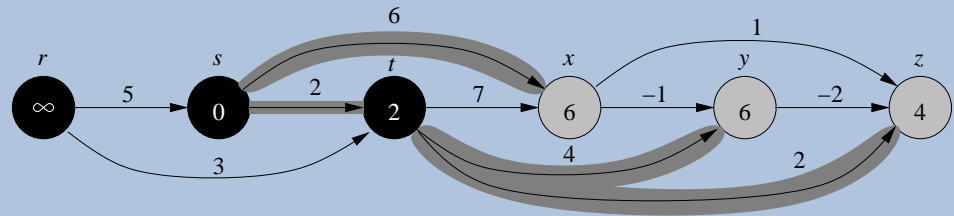
Quit

## Camino más Corto desde un Origen a muchos Destinos en GDA (cont.)

(c)



(d)



Contents



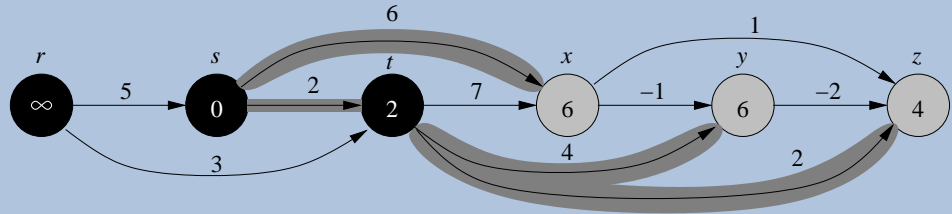
Page 31 of 42

Full Screen

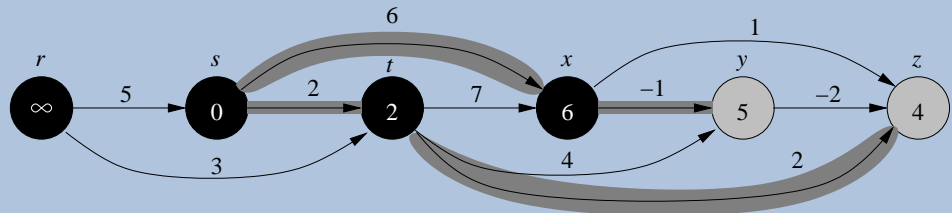
Quit

## Camino más Corto desde un Origen a muchos Destinos en GDA (cont.)

(d)



(e)



Contents



Page 32 of 42

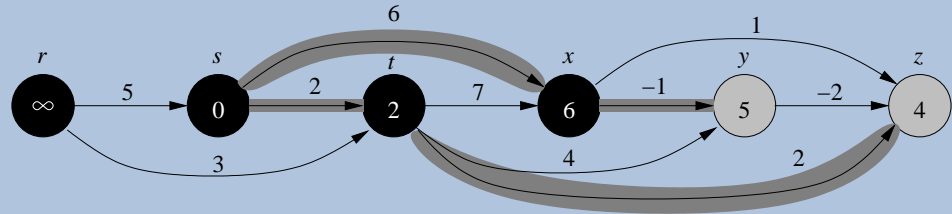
Full Screen

Quit

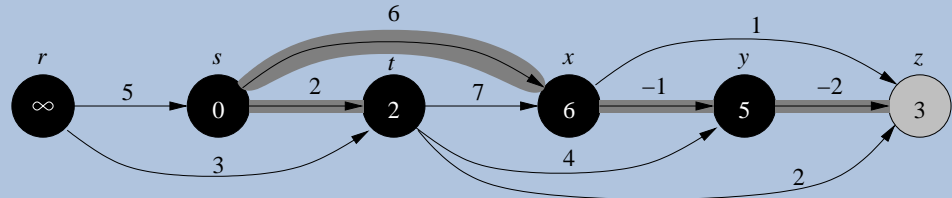


## Camino más Corto desde un Origen a muchos Destinos en GDA (cont.)

(e)



(f)



Contents



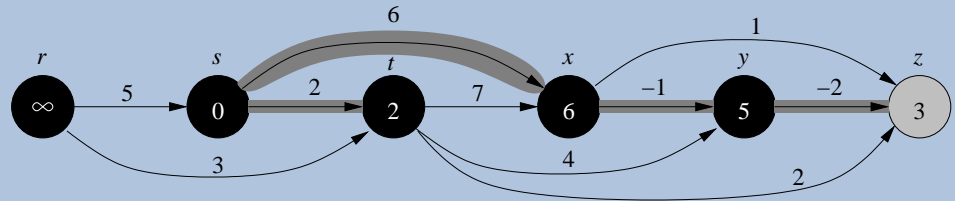
Page 33 of 42

Full Screen

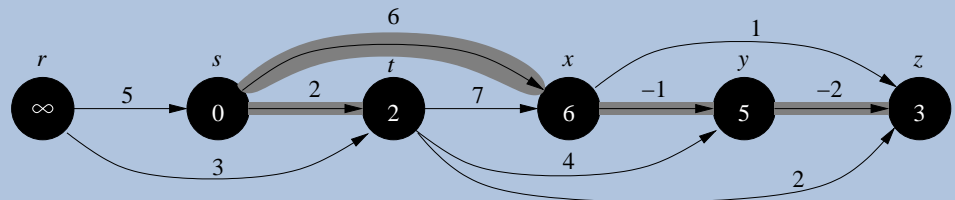
Quit

## Camino más Corto desde un Origen a muchos Destinos en GDA (cont.)

(f)



(g)



Contents



Page 34 of 42

Full Screen

Quit

## Caminos más Cortos desde un Origen a muchos Destinos en GDA (cont.)

### Teorema 8

Si un grafo dirigido con peso  $G = (V, E)$  tiene un vértice origen  $s$  y no tiene ciclos, entonces al finalizar el procedimiento **DAG-SHORTEST-PATH**,  $d[v] = \delta(s, v)$  para todo  $v \in V$ , y el subgrafo predecesor  $G_\pi$  es un árbol de caminos más cortos.

Contents



Page 35 of 42

Full Screen

Quit

## El Algoritmo de Dijkstra

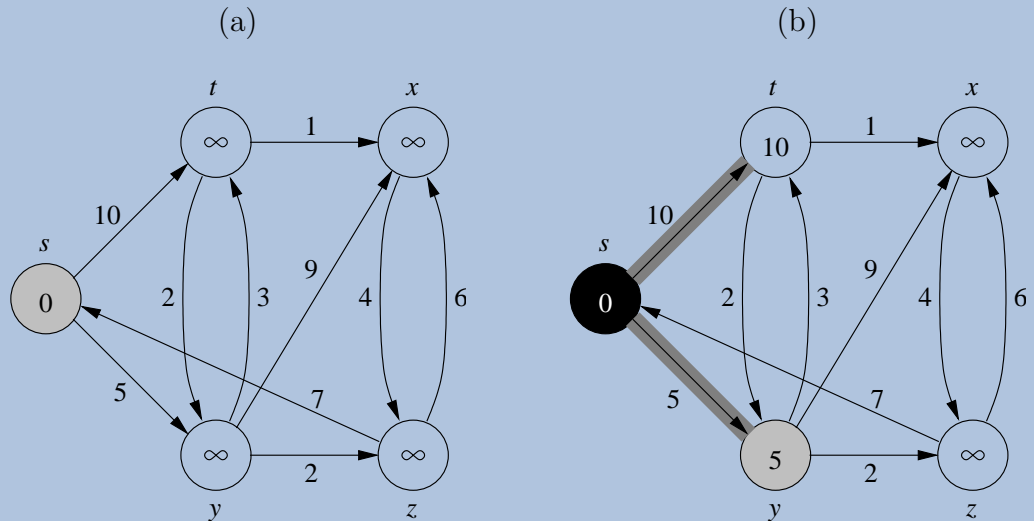
El algoritmo de Dijkstra resuelve el problema de caminos más cortos desde un origen a muchos destinos en un grafo dirigido con peso  $G = (V, E)$  para el caso en el cual todas las aristas tienen un peso no negativo.

El algoritmo es el siguiente:

```
DIJKSTRA( $G, w, s$ )
1 INITIALIZE-SINGLE-SOURCE( $G, s$ )
2  $S \leftarrow \emptyset$ 
3  $Q \leftarrow V[G]$ 
4 while  $Q \neq \emptyset$ 
5     do  $u \leftarrow \text{EXTRACT-MIN}(Q)$ 
6          $S \leftarrow S \cup \{u\}$ 
7     for each vertex  $v \in \text{Adj}[u]$ 
8         do RELAX( $u, v, w$ )
```

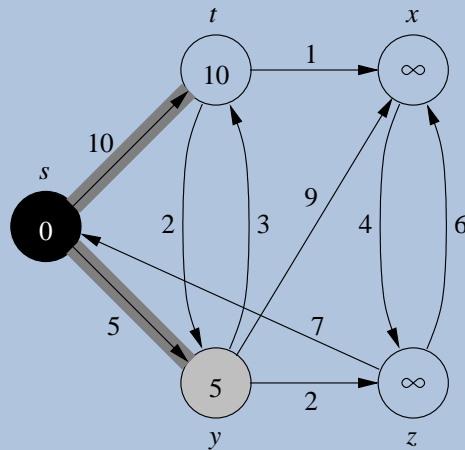
## El Algoritmo de Dijkstra (cont.)

El algoritmo de Dijkstra en ejecución se muestra en el siguiente ejemplo:

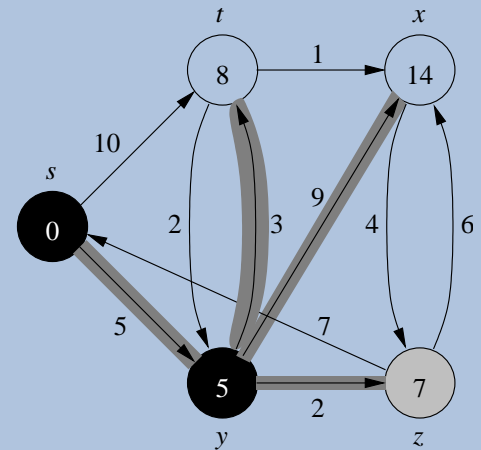


## El Algoritmo de Dijkstra (cont.)

(b)



(c)



Contents

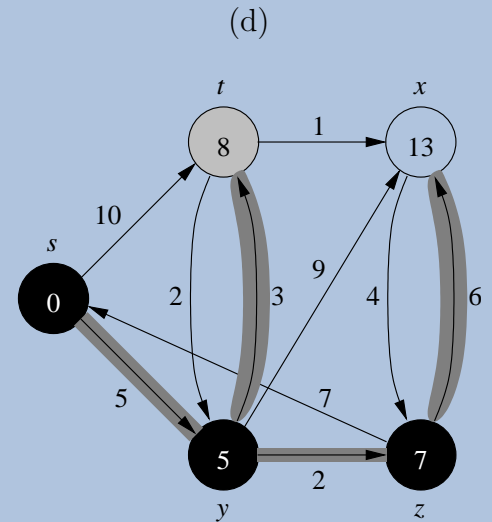
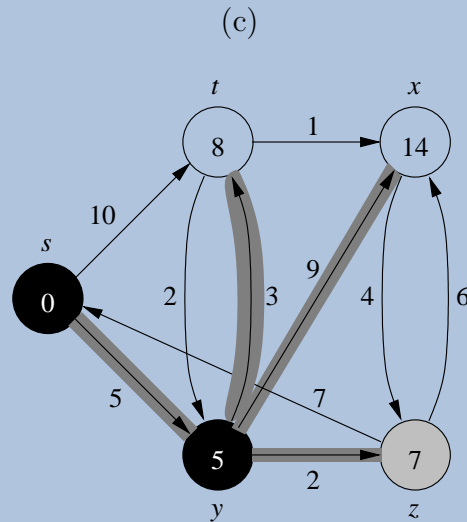


Page 38 of 42

Full Screen

Quit

## El Algoritmo de Dijkstra (cont.)



Contents



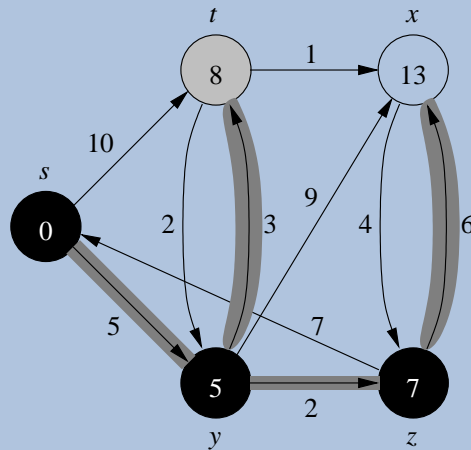
Page 39 of 42

Full Screen

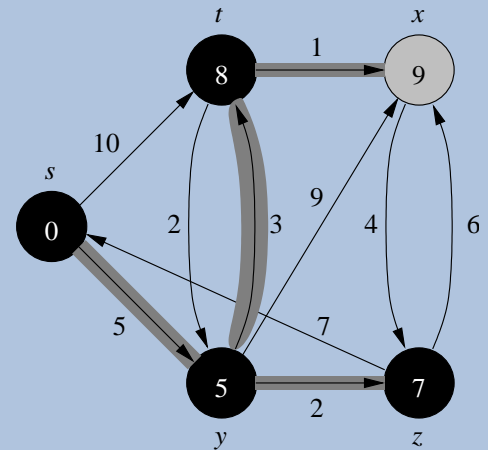
Quit

## El Algoritmo de Dijkstra (cont.)

(d)



(e)



Contents



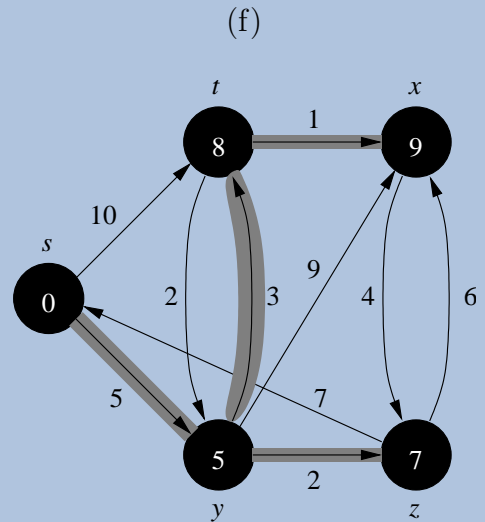
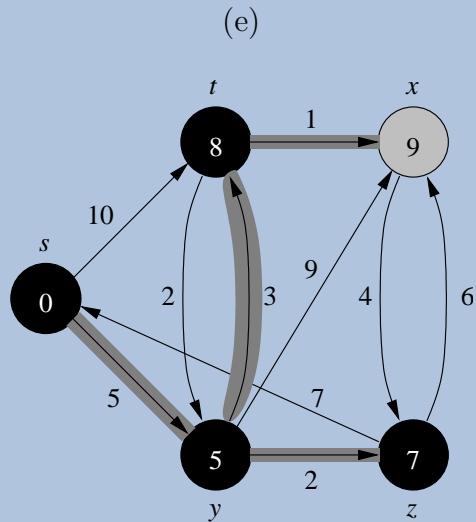
Page 40 of 42

Full Screen

Quit



## El Algoritmo de Dijkstra (cont.)



Contents



Page 41 of 42

Full Screen

Quit



## El Algoritmo de Dijkstra (cont.)

### Teorema 9

El algoritmo de Dijkstra corriendo en un grafo dirigido con peso  $G = (V, E)$  con una función de peso no negativo  $w$  y origen  $s$ , termina con  $d[u] = \delta(s, u)$  para todo  $v \in V$ .

Contents



Page 42 of 42

Full Screen

Quit